

文章编号: 0253-374X(2018)07-0944-07

DOI: 10.11908/j.issn.0253-374x.2018.07.012

## 邻苯二甲酸酯高效降解菌的筛选及表征

杨 捷<sup>1</sup>, 姚炎华<sup>1</sup>, 尹大强<sup>2</sup>, 叶秀云<sup>1</sup>

(1. 福州大学 福建省海洋酶工程重点实验室, 福建 福州 350116; 2. 同济大学 长江水环境教育部重点实验室, 上海 200092)

**摘要:** 以邻苯二甲酸二丁酯(DBP)为唯一碳源,筛选得到一株能够降解DBP的菌株。通过形态学观察、16S rDNA测序及系统发育分析,鉴定该菌株为寡养单胞菌(*Stenotrophomonas* sp.),命名为B3。首次报道了寡养单胞菌对邻苯二甲酸酯(PAEs)的降解作用。B3可高效降解0.05~50 g·L<sup>-1</sup>浓度范围的DBP,其中对0.05 g·L<sup>-1</sup>DBP的降解率为93.4%。经过优化后,在35℃、pH 8条件下对10 g·L<sup>-1</sup>DBP的降解率为95.8%。反应动力学研究表明,B3降解DBP符合一级降解动力学模型,对50 g·L<sup>-1</sup>DBP初始降解速率可达1.25 g·L<sup>-1</sup>·h<sup>-1</sup>。B3对其他4种常见的PAEs(邻苯二甲酸二(2—乙基己)酯、邻苯二甲酸二甲酯、邻苯二甲酸丁苄酯、邻苯二甲酸二乙酯)和苯胺、甲苯、邻苯二甲酸的降解率均在50%及以上。B3降解PAEs浓度范围宽、底物种类范围广,表明B3在PAEs的生物降解中具有良好的应用前景。

**关键词:** 寡养单胞菌; 邻苯二甲酸酯; 邻苯二甲酸二丁酯; 生物降解; 降解动力学

中图分类号: X703

文献标志码: A

### Screening and Characterization of an Efficient Phthalate-Ester-Degrading Strain

YANG Jie<sup>1</sup>, YAO Yanhua<sup>1</sup>, YIN Daqiang<sup>2</sup>, YE Xiuyun<sup>1</sup>

(1. Fujian Key Laboratory of Marine Enzyme Engineering, Fuzhou University, Fuzhou 350116, China; 2. The Yangtze River Water Environment Key Laboratory of the Ministry of Education, Tongji University, Shanghai 200092, China)

**Abstract:** With dibutyl phthalate (DBP) as the sole carbon source, we isolated a DBP-degrading strain; by its morphology as well as 16S rDNA sequencing and phylogenetic analysis, the strain was identified as *Stenotrophomonas* sp., designated as strain B3. Degradation of Phthalate esters (PAEs) by *Stenotrophomonas* was reported for the first time. The degradation efficiency of 0.05 g·L<sup>-1</sup>DBP is 93.4%; B3 could efficiently degrade DBP up to 50 g·L<sup>-1</sup>, and under the conditions of pH 8, 35℃, the degradation efficiency of 10 g

· L<sup>-1</sup>DBP by B3 reached 95.8%. Kinetic studies showed that DBP degradation by B3 followed first-order kinetics, and the initial degradation rate of 50 g·L<sup>-1</sup>DBP can reach 1.25 g·L<sup>-1</sup>·h<sup>-1</sup>. The degradation efficiencies of four other common PAEs (di-2-ethylhexylPhthalate、dimethyl phthalate、benzyl butyl phthalate、diethyl phthalate) as well as aniline, toluene and phthalic acid by B3 were 50% or higher, suggesting that B3 had a broad substrate spectrum. The ability of B3 to degrade various PAEs at high concentrations indicates that B3 is promising in bioremediation of PAEs.

**Key words:** *Stenotrophomonas*; phthalate esters; dibutyl phthalate; biodegradation; kinetics

邻苯二甲酸酯类(phthalate esters, PAEs)作为塑料添加剂和软化剂广泛用于塑料产品、皮革、建筑材料、个人护理产品、洗涤剂、油漆等产品中<sup>[1]</sup>。PAEs的一般结构由一个苯环和两个侧链组成,不同的PAEs的区别在于侧链基团的不同。PAEs的种类繁多,包括具有简单侧链基团的邻苯二甲酸二甲酯(dimethyl phthalate, DMP)、邻苯二甲酸二乙酯(diethyl phthalate, DEP)、邻苯二甲酸二丁酯(dibutyl phthalate, DBP),和具有复杂侧链基团的邻苯二甲酸丁苄酯(benzyl butyl phthalate, BBP)、邻苯二甲酸二(2—乙基己)酯(di-2-ethylhexylPhthalate, DEHP)。在塑料制品中,PAEs以氢键或范德华力与塑料连接,这种不牢固的化学键使PAEs较容易从塑料中释放出来,造成了对大气、水体、土壤的污染<sup>[2]</sup>。PAEs已成为全球最普遍的有机污染物之一,多种PAEs在全球主要工业国的生态环境中都达到了普遍检出程度,其中DBP、DEHP、DMP最常被检测出<sup>[3]</sup>,浓度一般在mg·L<sup>-1</sup>级别。在增塑剂生产过程产生的污水属于高浓度有机污染废水,PAEs浓度高<sup>[4]</sup>。

收稿日期: 2017-09-17

基金项目: 国家自然科学基金(31671795, 41306120)、海洋生物酶工程创新服务平台(2014FJPT02)

第一作者: 杨 捷(1979—), 女, 工学博士, 研究员, 主要研究方向为应用微生物. E-mail: fjfzhyj@yahoo.com

PAEs 是一类具有类似于雌激素作用的内分泌干扰物,且对动物具有致畸性、致突变性、致癌性以及生殖毒性<sup>[5]</sup>,具有低浓度长期危害特征。其污染控制已受到全球性关注,美国环保局(EPA)、中国环境监测总站及欧盟都将 DBP、BBP、DEHP、DEP 等多种 PAEs 列为优先控制污染物<sup>[6]</sup>。

PAEs 很难降解,在自然环境中通过水解、光解的速率非常缓慢。处理 PAEs 污染物的现有技术主要有吸附、光化学氧化、生物降解等。吸附法和光化学氧化法成本高,且容易造成二次污染。微生物降解是自然界中 PAEs 去除的主要方式,具有清洁经济的特点,得到科研人员的广泛关注<sup>[7]</sup>。DBP 作为最常用的 PAEs,许多研究人员从环境中筛选 DBP 的降解菌。已报道的 DBP 降解菌普遍降解浓度较低,仅在  $\text{mg} \cdot \text{L}^{-1}$  水平,且降解其他(如长链)PAEs 的效率不高<sup>[8-9]</sup>,因此有必要筛选出降解能力更强、降解条件和底物范围更广的 DBP 降解菌,以提高微生物在降解 PAEs 中的应用价值。

本研究从土壤中筛选到能够高效降解 DBP 的菌株,通过生理生化以及 16S rDNA 等将其鉴定为寡养单胞菌(*Stenotrophomonas* sp.),并测试其底物范围及探究降解 DBP 的条件、降解动力学,可为 PAEs 的污染治理提供理论支持。

## 1 材料与方法

### 1.1 材料

土样采自福建省福州市晋安区新店镇红庙岭垃圾综合处理场。试剂: DBP、DEHP、DMP、BBP、DEP、苯胺、甲苯和邻苯二甲酸、三氯甲烷(均为分析纯)、甲醇(色谱纯/分析纯)均购自国药试剂有限公司;用水为超纯水 其余无机盐试剂均为分析纯。

基础无机盐培养基(mineral salt medium, MSM)(成分的单位:  $\text{g} \cdot \text{L}^{-1}$ ):  $\text{K}_2\text{HPo}_4$  5.8 g,  $\text{KH}_2\text{PO}_4$  4.5 g,  $(\text{NH}_4)_2\text{SO}_4$  2.0 g,  $\text{MgCl}_2$  0.16 g,  $\text{CaCl}_2$  0.02 g,  $\text{Na}_2\text{MoO}_4 \cdot 2\text{H}_2\text{O}$  0.0024 g,  $\text{FeCl}_3$  0.0018 g,  $\text{MnCl}_2 \cdot 2\text{H}_2\text{O}$  0.0015 g, pH 7.0. 121°C 高压灭菌 20 min。

底物培养基:液体培养基是在试管中加入甲醇溶解的 DBP、DEHP、DMP、BBP、DEP、苯胺、甲苯和邻苯二甲酸母液,水浴加热使甲醇蒸发,待甲醇完全蒸发后再加入 MSM 配制成所需浓度的各类底物液体培养基。DBP 固体培养基是 DBP 液体培养基加 2%的琼脂。121°C 高压灭菌 20 min。

### 1.2 降解菌的筛选

称取土样 5 g 于 100 mL 含 5% 的 DBP 液体培养液中,采用 10%、15%、20% 的 DBP 浓度梯度压力法驯化,30 °C,150  $\text{r} \cdot \text{min}^{-1}$  振荡培养 7 d,再转接 2 mL 菌液至下一浓度梯度的 DBP 液体培养基培养。20% 的 DBP 的菌液进行梯度稀释 10<sup>4</sup> 倍后涂布于 DBP 固体平板上,30 °C 有氧恒温培养,通过划线在 DBP 固体平板上反复纯化,重复多次,直至菌落形态单一。挑取单菌落,在 LB(Luria-Bertani)培养基中富集培养。

### 1.3 降解菌的分子生物学鉴定

用细菌基因组脱氧核糖核酸(DNA)提取试剂盒(OMEGA 公司)提取细菌的总 DNA,以其为模板,用 16S rDNA 特异性引物 27F 与 1492R,进行 16S rDNA 扩增。

聚合酶链式反应(polymerase chain reaction, PCR)产物经 1% 琼脂糖凝胶电泳检测后,委托上海英潍捷基生物技术有限公司测序。将测序结果与 NCBI 数据库中 Blastn 程序进行序列同源性检索和比对,并通过 MEGA7.0 软件,构建系统发育进化树,分析确定该菌的分类地位。

### 1.4 PAEs 的测定

采用高效液相色谱法(HPLC)测定 PAEs 含量:将菌体与液体培养基 8000  $\text{r} \cdot \text{min}^{-1}$  离心 3 min。用三氯甲烷分别对菌和液体进行两次萃取得到 PAEs,待三氯甲烷挥发后,加入甲醇定容至 5.0 mL。用孔径为 0.22  $\mu\text{m}$  的有机相过滤器过滤后,用高效液相色谱仪(DGC-20A3R 型,岛津公司)测定液体中 PAEs 的含量。

HPLC 分析条件:色谱柱 Agilent? ZORBAX SB-C18(4.6 mm×150 mm×5  $\mu\text{m}$ ),柱温 35°C,流动相甲醇与水体积比为 90:10,流速为 0.5  $\text{mL} \cdot \text{min}^{-1}$ ,检测器波长为 228 nm,进样量为 20  $\mu\text{L}$ 。利用 HPLC 测定 PAEs 的残留量。

### 1.5 生长量的测定

取菌液 1 mL,离心分离,用 MSM 重悬菌液,紫外分光光度计(T6 系列,上海普析通用仪器有限责任公司)测 OD<sub>600</sub>,即为菌株的生长量。

### 1.6 底物特异性

挑取在 DBP 固体培养基中生长良好的单菌落,置于 LB 液体培养基中 30 °C,175  $\text{r} \cdot \text{min}^{-1}$  培养 10 h。离心收集菌体、重悬,配制菌体浓度 OD<sub>600</sub> 0.1。无菌条件下,吸取菌液,接种量于 4 mL,8 种 10 g ·  $\text{L}^{-1}$  液体底物(DBP、DEHP、DMP、BBP、DEP、苯胺、

甲苯和邻苯二甲酸)培养基中, pH 7、30 °C、150 r · min<sup>-1</sup> 摆床培养 5 d。紫外分光光度计测定生长量, 高效液相色谱法分析 8 种底物的残留量。

### 1.7 DBP 降解条件的优化

分别探究不同的 DBP 初始浓度、pH、温度、摇床转速及葡萄糖添加量在 72 h 内对菌生长和降解 DBP 的影响。所有实验数据均为三次平行实验的平均值, 数据采用 Excel 软件进行分析, 图中误差线为三次平行实验的标准差。

### 1.8 降解动力学

分别探究初始质量浓度为 1、5、10、20、50 g · L<sup>-1</sup> 的 DBP, 在最佳培养条件下, 每隔 8 h 测定 72 h 内 DBP 的残留量, 每个样品设置三组平行。用软件 GraphPad Prism5. 0 (GraphPad Software, Inc, USA) 拟合实验数据, 构建降解动力学模型, 得出 B3 降解 DBP 的半衰期和速率常数。直观体现出时间和 PAEs 残留量的关系以及降解速率的变化。进一步研究出 B3 的降解 DBP 的特性, 完善微生物降解 PAEs 有机污染物的研究。一级动力学模型可用方程表示:  $Y = (Y_0 - r_{\text{Pla}}) \cdot e^{-Kt} + r_{\text{Pla}}$ , Y 表示 DBP 的质量浓度, g · L<sup>-1</sup>;  $Y_0$  为初始质量浓度, g · L<sup>-1</sup>;  $r_{\text{Pla}}$  为无限

时间后 DBP 残留质量浓度, g · L<sup>-1</sup>; K 为速率常数, 半衰期  $t_{1/2} = \ln 2/K$ , 初始降解速率  $v_0 = dY/dt = (Y_0 - r_{\text{Pla}}) \cdot K \cdot e^{-Kt}$ ,  $t \rightarrow 0$ .  $v_0$  的单位为 g · L<sup>-1</sup> · h<sup>-1</sup>.

## 2 结果与讨论

### 2.1 降解菌的鉴定

经过富集培养, 分离得到一株能够在以 DBP 为唯一碳源的基础培养基中生长良好的菌, 命名为 B3。观察菌落形态并通过结晶紫简单染色观察细菌, 发现菌落呈黄绿色不透明, 中等大小, 表面粘稠, 边缘平整, 规则圆形, 表面隆起, 细长杆状。

扩增得到 B3 的 16S rDNA 序列, 并构建系统进化树(图 1), B3 与寡养单胞菌 (*Stenotrophomonas* sp. KX928046.1) 聚为一支, 相似性为 99%, 同时结合该菌株的菌落形态特征, 判定其为寡养单胞菌 (*Stenotrophomonas* sp.). 据报道, 寡养单胞菌能降解甲基对硫磷<sup>[10]</sup>、双对氯苯基三氯乙烷(DDT)有机农药<sup>[11]</sup>和四环素<sup>[12]</sup>等有机污染物, 本研究筛选得到的能降解 PAEs 的寡养单胞菌为首次发现。

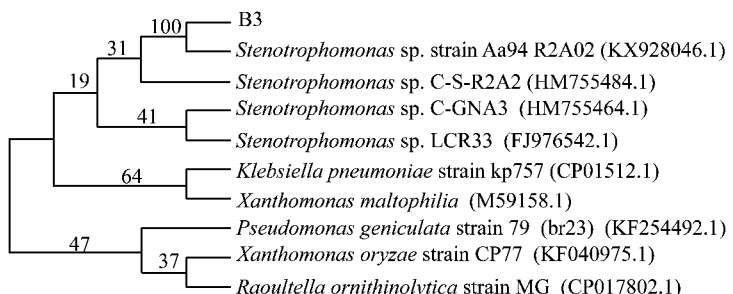


图 1 B3 的系统发育树分析  
Fig.1 Phylogenetic analysis of strain B3

### 2.2 底物特异性

将 B3 分别接种于如表 1 所示的 8 种 10 g · L<sup>-1</sup> 底物液体培养基中, 培养 5 d 后检测菌株的生物量( $OD_{600}$ )及底物的残留量, 计算降解率。

B3 在 8 种底物培养基中均能生长, 其中在短链的 PAEs(DBP、BBP、DMP)以及苯胺中生长较好( $OD_{600} > 0.8$ ), 而在长链 PAE(DEHP)中生长较慢, 这种差异可能是由于各类 PAEs 侧链不同所引起的<sup>[8-9]</sup>。B3 对 8 种底物的降解率均在 50% 及以上, 其中对 BBP(90.1%)和苯胺(89.0%)的降解率最高, 其次是 DBP(75.9%)和 DMP(73.0%)。这表明 B3 的底物特异性不明显, 能够降解多种 PAEs 及芳香类化合物。与 B3 类似, 许多已报道的 DBP 降解菌更

容易利用短链的 PAEs, 而对长链 PAEs 如 DEHP 的降解效果不佳: 如 *Gordonia* sp. strain QH-11<sup>[13-14]</sup> 降解 DEP 和 DBP 的效果比长链的 DMP、DIOP、DEHP 的好; *Camelimonas* sp. M11<sup>[15]</sup> 降解 DPP、DEP、DBP 的效率依次递减。B3 降解 10 g · L<sup>-1</sup> 的长链 DEHP 的能力虽不比短链的好, 但降解率仍有 60% 以上。

### 2.3 降解条件优化

首先探究底物 DBP 的初始浓度对 B3 生长和降解率的影响(表 2)。表中, 培养条件: pH 为 7, 30 °C, 175 r · min<sup>-1</sup>, 初始菌浓度  $OD_{600}$  为 0.05, 反应时间为 72 h。随着底物浓度增加, B3 生长量在增长, 当质量浓度大于 10 g · L<sup>-1</sup>, 呈缓慢下降趋势, 表明 B3

表 1 B3 的底物特异性  
Tab. 1 Substrate specificity of strain B3

底物	结构	分子式	分子量	生长量 OD <sub>600</sub>	降解率/ %
DBP		C <sub>16</sub> H <sub>22</sub> O <sub>4</sub>	278.34	1.0 ± 0.07	75.9 ± 0.3
DEHP		C <sub>24</sub> H <sub>38</sub> O <sub>4</sub>	390.56	0.7 ± 0.02	63.3 ± 0.2
BBP		C <sub>19</sub> H <sub>20</sub> O <sub>4</sub>	312.36	1.3 ± 0.02	90.1 ± 0.1
DEP		C <sub>12</sub> H <sub>14</sub> O <sub>4</sub>	222.24	0.7 ± 0.05	53.3 ± 0.1
DMP		C <sub>10</sub> H <sub>10</sub> O <sub>4</sub>	194.18	0.8 ± 0.07	73.0 ± 0.2
苯胺		C <sub>6</sub> H <sub>7</sub> N	93.13	1.1 ± 0.05	88.9 ± 0.1
甲苯		C <sub>7</sub> H <sub>8</sub>	92.14	0.8 ± 0.05	66.4 ± 0.1
邻苯二甲酸		C <sub>8</sub> H <sub>6</sub> O <sub>4</sub>	166.13	0.4 ± 0.08	48.6 ± 0.3

对 DBP 具有很强的耐受性。DBP 质量浓度为 0.05 g · L<sup>-1</sup>时,降解率为 93.4%,DBP 浓度提高,降解率缓慢下降,可能是由于底物过剩,或是 DBP 本身具有毒性,随着其浓度增加对菌的抑制作用增强。当 DBP 质量浓度小于等于 10 g · L<sup>-1</sup>时,B3 降解 DBP 的效率均大于 75%。当 DBP 质量浓度在 20 g · L<sup>-1</sup>

及以上时,降解率仍维持在 70% 左右。许多报道也研究了不同浓度 DBP 对菌的降解的影响:He<sup>[8]</sup> 和 Jin<sup>[13]</sup> 等分别研究了 0.6~1.2 g · L<sup>-1</sup> 和 0.1~0.75 g · L<sup>-1</sup> 质量浓度范围的 DBP 对菌降解的影响。B3 降解 DBP 浓度范围较前人的宽,而且效率高。表 2 中,生长量以 OD<sub>600</sub> 表示(下同)。

表 2 DBP 初始浓度对 B3 菌株降解的影响  
Tab. 2 Effect of initial DBP concentrations on the degradation efficiency by B3

初始质量浓度/(g · L <sup>-1</sup> )	0.05	0.5	1.0	5.0	10.0	20.0	50.0
生长量	0.4±0.07	0.6±0.05	0.7±0.03	0.8±0.06	1.0±0.07	0.9±0.06	0.9±0.04
降解率/ %	93.4±0.4	86.3±4.5	74.5±3.5	75.8±7.0	75.9±1.3	70.30±5.8	68.8±5.1

在 10 g · L<sup>-1</sup> DBP 初始质量浓度下,探究 pH、温度、摇床转速、接菌量和葡萄糖浓度对 B3 生长和降解 DBP 的影响(图 2、表 3)。图 2 显示,B3 的生长量和降解率呈现正相关。图 2a 显示,30 ℃ 条件下,B3 在 pH 为 5~11,B3 对 10 g · L<sup>-1</sup> DBP 的降解率保持在 60% 以上,当 pH 由 7 上升至 8 时,B3 的降解率由 75.9% 提高至 92.2%,说明弱碱性的环境有利于 B3 对 DBP 的降解。Wu 等<sup>[16]</sup> 筛选出的 *Ochrobactrum* sp. JDC-41 在 pH 小于 5 或 pH 高于 9,DBP 降解率骤降至 2%~35%。而 B3 在 pH 小于 6 或高于 9 的条件下,对 DBP 的降解率都超过 60%,表明 B3 降解 DBP 受 pH 影响相对较小。

在 pH 8 的条件下探究温度对 B3 降解 DBP 的影响(图 2b)。不同温度下菌株的生长量和降解率不同,这可能与菌体内酶的活性有关。20 ℃~45 ℃ 时,B3 降解率均在 60% 以上,其中在 25 ℃~35 ℃ 降解率大于 80%,35 ℃ 时降解率最高,为 94.1%。B3 在温度 40 ℃ 及以上时,对 10 g · L<sup>-1</sup> DBP 仍具有 70% 以上的降解率,这与报道的降解 DBP 的 *eBrucellaceae*、*Sinobacteraceae*<sup>[7]</sup> 等菌株不同,这些菌降解的最适温度均在 30 ℃~35 ℃ 间,但温度大于 40 ℃ 或低于 25 ℃ 时,降解活力大大降低。

图 2c 摆床的转速反映了对 B3 降解 DBP 过程中的溶解氧的供给量,溶解氧供给量不足或是过量,

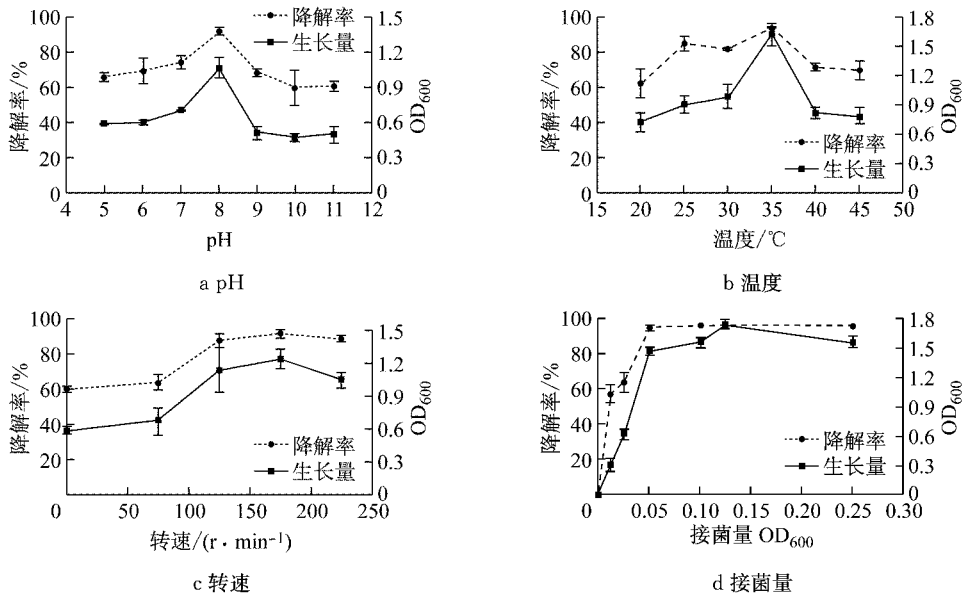


图 2 B3 菌株降解 DBP 的条件优化

Fig. 2 Optimization of conditions for the degradation of DBP by B3 strain

表 3 葡萄糖添加量对 B3 降解 DBP 的影响

Tab. 3 Effect of glucose concentrations on B3 proliferation and DBP degradation

葡萄糖质量浓度/(g·L⁻¹)	0	0.25	0.5	0.75	1	1.25	1.5
生长量	1.5 ± 0.2	2.0 ± 0.1	2.6 ± 0.1	4.3 ± 0.1	5.2 ± 0.1	5.5 ± 0.1	5.9 ± 0.1
降解率/%	95.8 ± 0.5	62.1 ± 2.4	65.9 ± 0.9	94.2 ± 0.2	95.1 ± 0.1	95.8 ± 1.7	95.9 ± 1.8

注: 培养条件:pH 8, 35 °C, 175 r·min⁻¹, DBP 质量浓度为 10 g·L⁻¹, 接菌量 OD₆₀₀ 0.05, 反应时间为 72 h

好氧微生物的生长与代谢均会受影响。转速过低通气量不足, 菌株的生长和降解效果不佳; 随着转速提升, B3 生长和降解速率增加, 在转速 175 r·min⁻¹ 时 B3 菌株的生长量达到最高、降解 DBP 的效果最佳。转速高于 175 r·min⁻¹ 时, 生长量和降解率均有所降低。Wu 等<sup>[17]</sup>发现 *Gordonia* sp. 降解 DBP 的最佳摇床转速为 175 r·min⁻¹, 而转速大于或小于 175 r·min⁻¹ 时, B3 对 DBP 的降解效果降低, 本文与该结果相似。与本文不同的是, *Gordonia* sp. 菌在 75 r·min⁻¹ 时, 对 0.4 g·L⁻¹ 的 DBP 降解率只有 20% 左右, 而 B3 在静置培养时, 降解率仍有 60%。

由图 2d 可知接菌量 OD₆₀₀ 小于 0.125 时, 降解率和 B3 的生长量上升显著, 当接菌量 OD₆₀₀ 大于 0.25 时, 降解率和生长量提高不明显。接菌量 OD₆₀₀ 为 0.05 至 0.25 时, B3 菌对 10 g·L⁻¹ 的 DBP 的降解率超过 94.3%。

探究葡萄糖添加量对 B3 降解的影响(表 3), 发现葡萄糖添加量 ≤ 0.5 g·L⁻¹ 时, 对 B3 降解 DBP 有抑制作用。葡萄糖对于许多微生物而言是良好的碳源, 微生物在含葡萄糖的条件下为了优先利用葡萄糖, 会抑制其他碳源的代谢<sup>[18]</sup>。Jin 等<sup>[19]</sup>也探究了葡萄糖添加量对菌株降解 DBP 的影响, 结果显示低

浓度的葡萄糖抑制菌株对 DBP 的降解, 这与本文结果相同。上述研究还表明高浓度的葡萄糖对菌降解 DBP 有促进作用, 这与本文不同。因此得到结论, 在 B3 降解 DBP 过程中没有必要添加葡萄糖。综上, B3 降解 10 g·L⁻¹ DBP 的最佳 pH 为 8, 温度 35 °C, 培养转速为 175 r·min⁻¹, 接菌量 OD₆₀₀ 为 0.125, 在 72 h 内降解效率可达 95.8%。

#### 2.4 DBP 的降解动力学

在最佳培养条件下, 设置 DBP 初始质量浓度为 1、5、10、20、50 g·L⁻¹, 每隔 8 h 测定 DBP 的残留量, 以 GraphPad Prism5 进行数据拟合(图 3, 表 4),

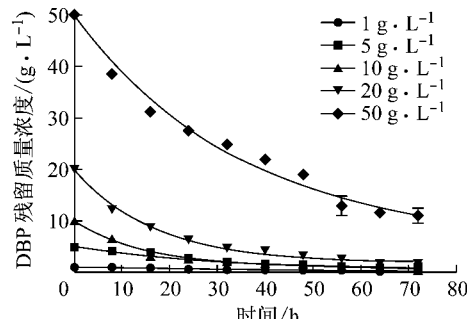


图 3 B3 降解不同初始质量浓度 DBP 的降解曲线

Fig. 3 DBP degradation profiles at different DBP initial concentrations

探究B3菌对DBP的降解动力学。

实验结果表明,B3降解DBP符合一级动力学模型,降解速率与DBP初始浓度密切相关。初始浓度的增加,初始降解速率增大,当初始质量浓度为50 g·L<sup>-1</sup>时,初始降解速率可达1.25 g·L<sup>-1</sup>·h<sup>-1</sup>。DBP质量浓度小于等于10 g·L<sup>-1</sup>时,随DBP的浓度增大,半衰期缩短,降解速率常数增大;DBP质量浓度为10 g·L<sup>-1</sup>,降解速率常数达到最大( $K=$

0.064),半衰期最短( $t_{1/2}=10.8$  h);当DBP质量浓度为50 g·L<sup>-1</sup>时,半衰期增大,降解速率常数减小。一级动力学常用于有机污染物的降解动力学<sup>[20]</sup>,He等<sup>[9]</sup>报道的赤红球菌属(*Rhodococcus ruber* strain),当DBP质量浓度小于等于0.8 g·L<sup>-1</sup>时,初始浓度的增加,降解速率增大,半衰期缩短;DBP质量浓度高于0.8 g·L<sup>-1</sup>时,随浓度增大,降解速率降低,半衰期增大,这些结果与本文结果相同。

表4 不同初始浓度DBP的降解动力学方程

Tab.4 Degradation kinetics equation of DBP with different initial concentration

初始质量浓度/ (g·L <sup>-1</sup> )	动力学方程	$t_{1/2}$ /h	初始降解速率 $v_0$ / (g·L <sup>-1</sup> ·h <sup>-1</sup> )	相关系数 $R^2$
1	$Y=0.81e^{-0.028t}+0.19$	35.0	0.02	0.98
5	$Y=4.43e^{-0.034t}+0.57$	20.5	0.15	0.96
10	$Y=9.26e^{-0.064t}+0.74$	10.8	0.59	0.97
20	$Y=18.06e^{-0.060t}+1.94$	11.5	1.08	0.99
50	$Y=44.67e^{-0.028t}+5.33$	24.4	1.25	0.99

近年来,探寻绿色高效经济的降解PAEs的方法已成为研究热点,已有很多报道降解DBP的菌属(表5)。许多研究报道的PAEs的降解率虽然可达90%,但降解的浓度通常在mg·L<sup>-1</sup>级别<sup>[21-22]</sup>。Tang等<sup>[22]</sup>报道的根瘤菌(*Rhizobium* sp.)降解50 mg·L<sup>-1</sup>的效率大于90%,而当浓度升高时,降解率大大降低,当DBP质量浓度为400 mg·L<sup>-1</sup>时,降解率仅为50%左右。而在Chen等<sup>[15]</sup>报道中*Camelimonas* sp.在336 h内降解0.03~0.14 g·

L<sup>-1</sup>DBP的效率不高于56%。在有些DBP降解浓度较高的报道中,菌降解时间长、效率不高亦或需要多种菌的共同作用:Kumar等<sup>[14]</sup>报道的假单胞菌属(*Pseudomonas* sp.)和丛毛单胞菌属(*Comamonas* sp.)在192 h内分别降解2 g·L<sup>-1</sup>DBP的效率仅为57%、46%。本文筛选到的寡养单胞菌B3不仅在宽的浓度范围内保持着高效降解能力,而且降解的底物范围、温度、pH范围等条件均较宽。

表5 不同的DBP降解菌的降解特性

Tab.5 Degradation characteristics of different PAEs by degrading bacteria

菌株	降解质量浓度/ (g·L <sup>-1</sup> )	降解条件	降解时间/h	半衰期/h	降解率/%	文献
<i>Stenotrophomonas</i> sp.	0.05~0.5	30 °C,pH 7	72		>86	本文
	1~50	35 °C,pH 8	72	24.4~35.5	72.5~95.8	
<i>Rhodococcus ruber</i> sp.	0.6~1.2	35 °C,pH 7.8	42~60	15.8~27.8	>90	[9]
	0.1~0.75	30 °C,pH 7	50	6.4~17.5	>93	[13]
<i>Pseudomonas</i> sp. <i>Comamonas</i> sp.	2	30 °C,pH 6.8	192	—	57 46	[14]
	0.03~0.14	40 °C,pH 8	336	65.4~277.3	<56	[15]
<i>Ochrobactrum</i> sp.	0.05~0.5	30 °C,pH 7	48	3.83~18.1	>87	[16]
	0.1~1.5	35 °C,pH 7	60	21.2~28.9	>70	[20]
<i>Enterobacter</i> sp.	0.1~0.4	40 °C,pH 7	60	9.5~15.5	94.3~100	[21]
	0.05~0.2 0.3~0.4	30 °C,pH 7	60	16.1~21.3	60~92 40~50	[22]
<i>Rhizobium</i> sp.						

### 3 结论

本文筛选到的PAEs降解菌——寡养单胞菌(*Stenotrophomonas* sp.)B3菌株,其对DBP的作用浓度和条件范围广。在30 °C,pH 7条件下,B3在72 h内,对0.05~0.5 g·L<sup>-1</sup>DBP的降解率在86%以

上,降解0.05 g·L<sup>-1</sup>DBP的效率为93.4%。在35 °C,pH 8条件下,B3对1~50 g·L<sup>-1</sup>DBP的降解率在72%以上,初始降解速率高,当DBP质量浓度在5 g·L<sup>-1</sup>及以上时,降解率仍维持在80%左右,降解浓度高且高效降解浓度范围宽。在20 °C~45 °C的温度及pH 5~11的范围内,B3菌株对10 g·L<sup>-1</sup>DBP降解率保持在60%以上。在pH 8,35 °C,175

$r \cdot \text{min}^{-1}$ , 接菌量 OD<sub>600</sub> 为 0.125 的条件下, 对 10 g · L<sup>-1</sup> DBP 的降解在 72 h 内可达到 95.8%。B3 降解 DBP 符合一级动力学模型。B3 不仅对 DBP 具有高效的降解效果, 而且对 DEHP、BBP、DEP、DMP、苯胺、甲苯和邻苯二甲酸的降解率均在 50% 及以上, 其中对 BBP、苯胺的降解效果在 88% 以上。B3 菌宽的降解浓度和底物种类范围预示着该株寡养单胞菌在 PAEs 的生物修复中具有独特的应用价值。

## 参考文献:

- [1] KANG L. Current status and historical variations of phthalate ester (PAE) contamination in the sediments from a large Chinese lake (Lake Chaohu) [J]. Environmental Science & Pollution Research, 2016, 23(11): 10393.
- [2] LI K, DONG M, WU J, et al. Distribution of phthalate esters in agricultural soil with plastic film mulching in Shandong Peninsula, East China[J]. Chemosphere. 2016, 164(9): 314.
- [3] MENG X, NIU G, YANG W, et al. Di(2-ethylhexyl) phthalate biodegradation and denitrification by a *Pseudoxanthomonas* sp. strain[J]. Bioresource Technology, 2015, 180(3): 356.
- [4] 柏义生, 于鲁冀, 胡晓东, 等. 新型树脂 NDA-66 处理 DBP 生产废水及影响因素[J]. 环境保护科学, 2015, 41(2): 38.  
BO Yisheng, YU Luji, HU Xiaodong, et al. Pretreatment of DBP wastewater by a new resin NDA-66 and its influencing factors [J]. Environmental Protection Science, 2015, 41(2): 38.
- [5] AKRBIC B D, JI Y, DURIŠI C-MLADENOVIĆ N, et al. Occurrence of the phthalate esters in soil and street dust samples from the Novi Sad city area, Serbia, and the influence on the children's and adults' exposure [J]. Journal of Hazardous Materials, 2016, 312(6): 272.
- [6] CHEN X. Toxicity and estrogenic endocrine disrupting activity of phthalates and their mixtures[J]. Int J Environ Res Public Health, 2014, 11(3): 3156.
- [7] WANG Y. Biodegradation of di-n-butyl phthalate by bacterial consortium LV-1 enriched from river sludge[J]. Plos One, 2017, 12(5): e0178213.
- [8] HE Z, XIAO H, TANG L, et al. Biodegradation of di-n-butyl phthalate by a stable bacterial consortium, HD-1, enriched from activated sludge. [J]. Bioresource Technology, 2013, 128(1): 526.
- [9] HE Z, NIU C, LU Z. Individual or synchronous biodegradation of di-n-butyl phthalate and phenol by *Rhodococcus* ruber strain DP-2. [J]. Journal of Hazardous Materials. 2014, 273 (3): 104.
- [10] 许育新, 冯昭中, 陆鹏, 等. 甲基对硫磷降解菌 PF32 的分离鉴定及其降解特性研究[J]. 农药学学报, 2009, 11(3): 329.  
XU Yuxin, FENG Zhaozhong, LU Peng, et al. Isolation and characterization of capable of degrading parathion-methyl bacterium *Stenotrophomonas* sp. PF32[J]. Chinese Journal of Pesticide Science, 2009, 11(3): 329.
- [11] 李红权, 李红梅, 蒋继志, 等. 一株 DDT 降解菌的筛选、鉴定及降解特性的初步研究[J]. 微生物学通报, 2008, 35(5): 696.  
LI Hongquan, LI Hongmei, JIANG Jizhi, et al. Isolation and characterization of a DDT degradation bacterium strain D-1. [J]. Microbiology, 2008, 35(5): 696.
- [12] LENG Y, BAO J, CHANG G, et al. Biotransformation of tetracycline by a novel bacterial strain *Stenotrophomonas maltophilia* DT1[J]. Journal of Hazardous Materials, 2016, 318: 125.
- [13] JIN D, BAI Z, CHANG D, et al. Biodegradation of di-n-butyl phthalate by an isolated *Gordonia* sp. strain QH-11: Genetic identification and degradation kinetics. [J]. Journal of Hazardous Materials, 2012, 221-222(2): 80.
- [14] KUMAR V, SHARMA N, MAITRA S S. Comparative study on the degradation of dibutyl phthalate by two newly isolated *Pseudomonas* sp. V21b and *Comamonas* sp. 51F [J]. Biotechnology Reports, 2017, 15(9): 1.
- [15] CHEN X, ZHANG X L, YANG Y. Biodegradation of an endocrine-disrupting chemical di-n-butyl phthalate by newly isolated *Camelimonas* sp. and enzymatic properties of its hydrolase[J]. Biodegradation, 2015, 26(2): 171.
- [16] WU X L, WANG Y Y, LIANG R X, et al. Degradation of Di-n-butyl phthalate by newly isolated *Ochrobactrum* sp. [J]. Bulletin of Environmental Contamination & Toxicology, 2010, 85(3): 287.
- [17] WU X, WANG Y, DAI Q, et al. Isolation and characterization of four di-n-butyl phthalate (DBP)-degrading *Gordonia* sp., strains and cloning the 3, 4-phthalate dioxygenase gene[J]. World Journal of Microbiology & Biotechnology, 2011, 27 (11): 2611.
- [18] GEORGE P R. Encyclopedia of genetics, genomics, proteomics and informatics[M]. Berlin: Springer Netherlands, 2008.
- [19] JIN D C, LIANG R X, DAI Q Y, et al. Biodegradation of di-n-butyl phthalate by *Rhodococcus* sp. JDC-11 and molecular detection of 3, 4-phthalate dioxygenase gene[J]. Journal of Microbiology & Biotechnology, 2010, 20(10): 1440.
- [20] FANG C R, YAO J, ZHENG Y G, et al. Dibutyl phthalate degradation by *Enterobacter* sp. T5 isolated from municipal solid waste in landfill bioreactor [J]. International Biodeterioration & Biodegradation, 2010, 64(6): 442.
- [21] FANG Y, ZHANG L, WANG J, et al. Biodegradation of phthalate esters by a newly isolated *Acinetobacter* sp. strain LMB-5 and characteristics of its esterase[J]. Pedosphere, 2017, 27 (3): 606.
- [22] TANG W J. Biodegradation of phthalate esters by newly isolated *Rhizobium* sp. LMB-1 and its biochemical pathway of di-n-butyl phthalate [J]. Journal of Applied Microbiology, 2016, 121(1): 177.